

Spectroscopie optique de Hg⁺

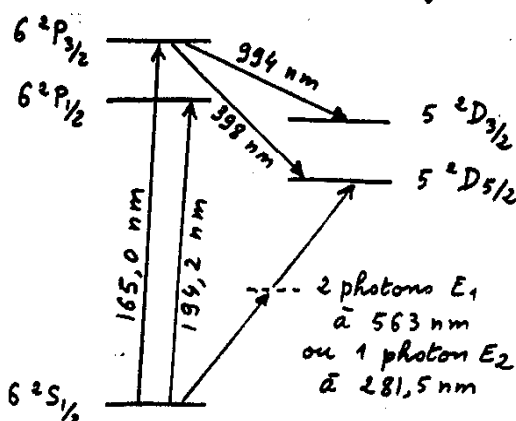
- 1 - Niveaux d'énergie - Intérêt pour la spectroscopie (T1 à T2)
- 2 - Source laser à 194 nm (T3 à T4)
- 3 - Transition à 2 photons sans effet Doppler $^2S_{1/2} - ^2D_{5/2}$
 - Observation (T5 à T7)
 - Interprétation des bandes latérales (T8 à T11)
- 4 - Mesure de la durée de vie de l'état $^2D_{5/2}$ (T12)
- 5 - Perspectives (T13)

Spectroscopie optique de Ba⁺

- 1 - Niveaux d'énergie (T14)
- 2 - Les premières expériences de spectroscopie optique sur Ba⁺
 - Absorption saturée (T15)
 - Refroidissement radiatif (T16 à T18)
- 3 - Transition Raman $^2S_{1/2} - ^2D_{3/2}$
 - Motivations (T19)
 - Structure vibrationnelle (T20 à T21)
 - Forme de raie - Interprétation (T22 à T27)
 - Observations antérieures de formes de raie analogues (T28 à T29)
 - Résultats expérimentaux obtenus sur Ba⁺ (T30 à T31)
- 4 - Perspectives de standards optiques (T32)

Références

- (1) H. Hemmati, J.C. Bergquist, W.M. Itano, Optics lett., 8, 73 (1983)
- (2) J.C. Bergquist, D.J. Wineland, W.M. Itano, H. Hemmati, H.U. Daniel, G. Leuchs, Phys. Rev. Lett. 55, 1567 (1985)
- (3) R. Iffländer, G. Werth, Optica Comm. 21, 411 (1977)
- (4) W. Neuhäuser, M. Hohenstatt, P. Toschek, H. Dehmelt, Phys. Rev. Lett. 41, 233 (1978)
- (5) Mêmes auteurs, Applied Physics 17, 123 (1978)
- (6) Mêmes auteurs, Phys. Rev. A 22, 1137 (1980)
- (7) G. Janik, W. Nagourney, H. Dehmelt, J.O.S.A. B2, 1251 (1985)
- (8) E. Arimondo, G. Orriols, Nuovo Cimento Lett. 17, 133 (1976)
- (9) R.W. Whitley, C.R. Strand, Phys. Rev. A 14, 1498 (1976)
- (10) G. Orriols, Nuovo Cimento B53, 1 (1979)
- (11) B.J. Dalton, P.L. Knight, Optics Comm. 42, 411 (1982)
et références in
- (12) G. Alzetta, A. Gozzini, L. Mori, G. Orriols, Nuovo Cim. B56, 5 (1976)
- (13) H.R. Gray, R.W. Whitley, C.R. Strand, Opt. Lett. 3, 218 (1978)
- (14) J.E. Thomas, P.R. Hemmer, S. Ezekiel, C.C. Leiby, R.H. Picard, C.R. Willis, Phys. Rev. Lett. 48, 867 (1982)
- (15) W. Ernstner, R. Blatt, J.L. Hall in "Laser cooled and trapped atoms", ed by W.D. Phillips, N.B.S. Special publication 653, p. 154
- (16) H. Dehmelt, W. Nagourney, G. Janik, B.A.P.S. 27, 402 (1982)
- (17) H. Dehmelt, J. de Phyzique 42, C-8-299 (1981)

Niveaux d'énergie de Hg^+ Niveau $2^2P_{1/2}$

Largeur naturelle ≈ 70 MHz
Rapport de branchement vers $2^2D_{3/2}$
négligeable

Niveau $2^2D_{5/2}$

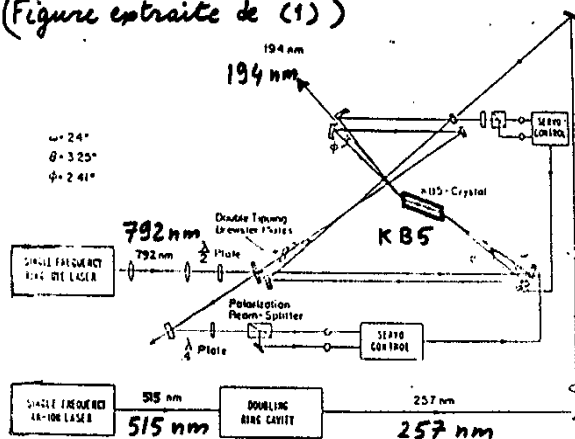
Durée de vie très longue (≈ 0.15)
Transition $2^2S_{1/2} - 2^2D_{5/2}$ très fine
(à 1 ou 2 photons)

Intérêt pour la spectroscopie optique

- Largeur potentielle très fine de la transition $2^2S_{1/2} - 2^2D_{5/2}$
 $Q = \frac{v}{\Delta v} \approx 10^{15}$
- Possibilité de détecter cette résonance
 - Sur la diminution de population de $2^2S_{1/2}$ (variation de la fluorescence sur 194,2 nm)
 - Sur l'augmentation de la population de $2^2D_{5/2}$ (transition à 398 nm vers $2^2P_{3/2}$ suivie de fluorescence à 165 nm vers $2^2S_{1/2}$)
- Possibilité de refroidissement laser sur la raie à 194,2 nm et de réduction de l'effet Doppler du 2^{ème} ordre (1 μ W suffirait)

Intérêt pour la spectroscopie microonde

Sera discuté ultérieurement
(Grandes structures hyperfinies de $2^2S_{1/2}$ pour $^{199}Hg^+$ et $^{201}Hg^+$)

Mise au point d'une source laser à 194 nm
(Figure extraite de (1))

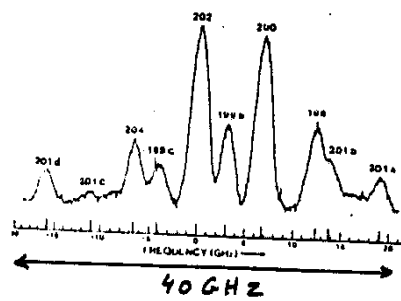
Mélange en continu dans un cristal de pentaborate de potassium de

- l'harmonique 2 de la raie 515 nm de Ar^+
- la sortie d'un laser à colorant à 792 nm, les 2 rayonnements étant amplifiés dans une cavité en anneau externe

Obtention de quelques microwatts avec une largeur spectrale $\Delta v \approx 2$ MHz

Observation du spectre d'absorption d'une décharge de Hg naturel

(Figure extraite de (1))



Balayage du laser sur 40 GHz
(La raie 199a, $2^2S_{1/2} F=0 \rightarrow 2^2P_{1/2} F=1$, n'est pas montrée, car elle est à 24,7 GHz à droite de 201a)

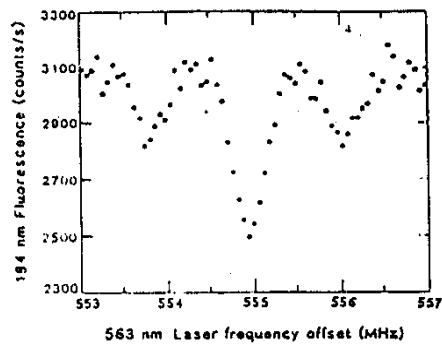
On notera la possibilité d'exciter 199b (et 199c) avec une lampe ordinaire contenant l'isotope 202)

Observation de la transition à 2 photons sans effet Doppler $^2S_{1/2} \leftrightarrow ^2D_{5/2}$ (5)

- Ions $^{198}\text{Hg}^+$ piégés dans un piège RF (nombre d'ions 50 à 200), $2r_0 = 890\text{ }\mu\text{m}$, $2z_0 = 625\text{ }\mu\text{m}$, $\Omega = 21\text{ MHz}$, $V_0 \leq 1\text{ kV}$
 - Refroidissement par collisions avec He (introduit dans le piège à $P_{\text{He}} \approx 10^{-3} \text{ à } 10^{-2}\text{ Pa}$) $\rightarrow T_{\text{Hg}^+} \approx 350\text{ K}$
 - Irradiation par le laser à 194 nm ($P = 5\text{ }\mu\text{W}$) et détection de la fluorescence ($2 \cdot 10^3 \text{ à } 10^4$ coups/sec) Rapport S/B ≈ 10
 - Irradiation par un laser à colorant à 563 nm [avec cavité externe pour former une onde stationnaire au niveau des ions] $P \approx 5\text{ W}$ dans la cavité. Waist $25\text{ }\mu\text{m}$
- Voir référence (2)

Détection de la résonance

Figure extraite de (2)



- La fluorescence à 194 nm diminue quand le laser à colorant est accordé sur la transition à 2 photons
- Observation (pour la 1^{re} fois) de bandes latérales d'une raie optique dues à la vibration de l'ion dans le puits. Possible parce que la raie $^2S_{1/2} - ^2D_{5/2}$ est fine
- Vérification du fait que les bandes latérales se déplacent si l'on change la fréquence de vibration de l'ion

Origines de la largeur observée (7) pour la transition à 2 photons

- $\Delta\nu \approx 420\text{ kHz}$
- Largeur de la raie laser à 563 nm $\approx 320\text{ kHz}$
 - Élargissement du niveau $^2S_{1/2}$ dû à l'irradiation à 194 nm $\approx 270\text{ kHz}$

Possibilité d'alterner dans le temps les excitations à 194 nm et 563 nm. On observe effectivement un affinement

- Élargissement dû aux collisions avec He $\approx 50\text{ kHz}$

Mesure précise de l'intervalle

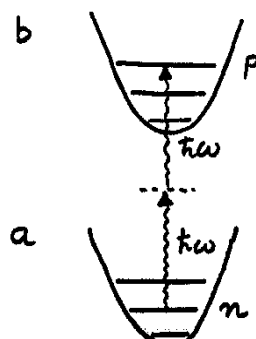
$^2S_{1/2} - ^2D_{5/2}$ par comparaison avec les raies de l'iode

$$\nu = 17757,152(3)\text{ cm}^{-1}$$

Interprétation des bandes latérales pour une transition à 2 photons (8)

a(b) : niveau interne initial (final)
r : niveau interne relais
 n, p, q : nombres quantiques de vibration
 \vec{k}_1, \vec{k}_2 : vecteurs d'onde des 2 photons

$$\vec{k}_1 \quad \vec{k}_2 \quad \vec{k}_1 = -\vec{k}_2$$



$$\begin{aligned} \text{Transition } a, n \rightarrow b, p \\ 2\hbar\omega &= E_b - E_a + (p-n)\hbar\omega_r \\ &= \hbar\omega_0 + (p-n)\hbar\omega_v \end{aligned}$$

Amplitude de transition (9)
 pour l'absorption d'un photon \vec{k}_i
 et d'un photon \vec{k}_j ($i, j = 1, 2$)

$$\sum_{r,q} \langle b_p | D e^{i \vec{k}_j \cdot \vec{r}} | r q \rangle \langle r q | e^{i \vec{k}_i \cdot \vec{r}} | a_n \rangle$$

$$= E_a - E_r + (n-q) \hbar \omega_r$$

$$+ (i \leftrightarrow j)$$

Comme $|E_a - E_r| \gg \hbar \omega_r$, on peut négliger $(n-q) \hbar \omega_r$ au dénominateur et, par suite, utiliser la relation de fermeture sur q au numérateur
 ↳ La partie externe de l'amplitude de transition se réduit à

$$A_{pn} = \sum_q \langle p | e^{i \vec{k}_j \cdot \vec{r}} | q \rangle \langle q | e^{i \vec{k}_i \cdot \vec{r}} | n \rangle$$

$$= \langle p | e^{i(\vec{k}_i + \vec{k}_j) \cdot \vec{r}} | n \rangle$$

2 cas différents suivant que

$$\vec{k}_i = -\vec{k}_j \quad \rightsquigarrow \text{---}$$

$$\vec{k}_i = \vec{k}_j \quad \rightsquigarrow \text{or } \text{---}$$

1^{er} cas $\vec{k}_i = -\vec{k}_j$ (Absorption de 2 photons se propageant en sens inverse)

$$A_{pn} = \langle p | n \rangle = \delta_{pn}$$

Seule la bande centrale existe
 Pas de bandes latérales

C'est ainsi que se traduit l'effet Cagnac - Chebotayer pour des particules piégées

2^{ème} cas $\vec{k}_i = \vec{k}_j = \vec{k}$ (Absorption de 2 photons se propageant dans le même sens)

$$A_{pn} = \langle p | e^{i k \cdot \vec{r}} | n \rangle$$

Produit scalaire (dans l'espace des impulsions) de q_p par q_n translating de $2k$

↳ Bande centrale ($p=n$) + bandes latérales

La bande centrale domine si $\lambda/2 \gg a_0$ (a_0 : largeur de la zone de confinement)

Effet Dicke à 2 photons

Intérêt d'utiliser une onde stationnaire (11)

- Même si les ions ne sont pas suffisamment froids et n'occupent pas une région suffisamment petite pour qu'on soit dans le régime de Lamb-Dicke, la raie centrale a un poids comparable à celui de l'ensemble de toutes les bandes latérales, et est donc bien visible.

- Par contre, à très basse température, une onde progressive donnerait, elle aussi, une bande centrale très visible (car les bandes latérales auraient un poids négligeable)

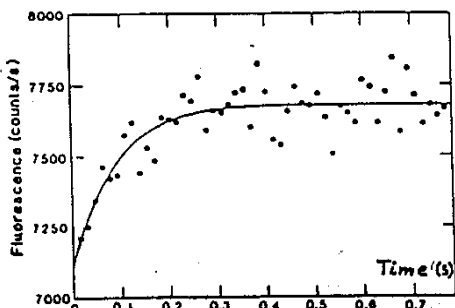
Intérêt des bandes latérales

L'étude de leurs intensités relatives doit permettre de déterminer la température

Mesure de la durée de vie de l'état ${}^2D_{5/2}$ (12)

Observation de la cinétique de l'augmentation de la fluorescence à 194 nm quand l'irradiation à 563 nm est brusquement arrêtée (Retombée spontanée des ions de ${}^2D_{5/2}$ à ${}^2S_{1/2}$)

Exemple de courbe expérimentale (Figure extraite de (2))



Valeur trouvée pour τ
 $\tau = 0,090 (15) \text{ sec}$

Perspectives

(13)

- Diminution de la largeur spectrale du laser à 563 nm
 - Utilisation de refroidissement laser à 194 nm (plutôt que le refroidissement collisionnel), et étude d'un ion unique
 - ↳ Elimination de tout élargissement collisionnel
 - ↳ Elimination de l'effet Doppler du 2^{me} ordre
 - Excitation directe de la transition à 1 photon E2, plutôt que l'excitation à 2 photons E1.

Intensité lumineuse plus faible
à 281,5 nm → Déplacements
luminieux beaucoup plus faibles

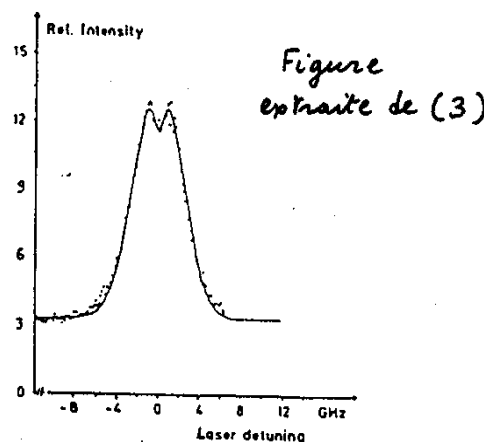
Standard de fréquence optique
très prometteur

$$\varphi = \frac{\gamma}{\Delta\gamma} \approx 10^{15}$$

Les premières expériences de spectroscopie optique sur Ba⁺

15

Observation d'un signal d'absorption saturée sur des ions Ba⁺ dans un piège de Paul



Excitation par 2 faisceaux laser
se propageant en sens inverse
(laser à colorant en impulsions
pompé par laser à azote)

Niveaux d'énergie de Ba⁺ (14)

The diagram illustrates the relative energy levels of atomic orbitals in the 6s, 6p, and 6d subshells. The horizontal axis represents the angular momentum quantum number l , and the vertical axis represents energy.

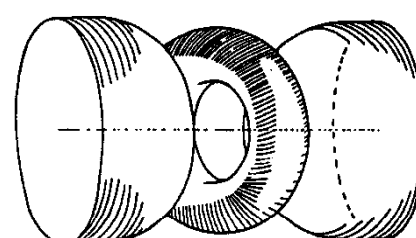
- 6s:** A single horizontal line at the lowest energy level, labeled $6^2S_{1/2}$.
- 6p:** Three parallel diagonal lines above the 6s level, labeled $6^2P_{3/2}$, $6^2P_{1/2}$, and $6^2P_{-1/2}$. The $6^2P_{3/2}$ level is the highest, followed by $6^2P_{1/2}$, and $6^2P_{-1/2}$ is the lowest.
- 6d:** Five parallel diagonal lines above the 6p levels, labeled 6^4D_5 , 6^4D_3 , 6^4D_1 , $6^2D_{5/2}$, and $6^2D_{3/2}$. The 6^4D_5 level is the highest, followed by 6^4D_3 , 6^4D_1 , $6^2D_{5/2}$, and $6^2D_{3/2}$ is the lowest.
- Transitions:** Diagonal lines connect the 6s level to each of the 6p levels, and the 6p levels to each of the 6d levels, representing allowed transitions between subshells of different l values.

- Largeur naturelle de $^2P_{1/2}$ ≈ 21 MHz

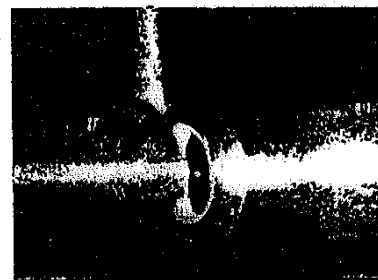
- Niveaux D : Métastaboles
(Durée de vie de plusieurs secondes)
 - Rapport de branchement $\sim 1/3$
de $^2P_{1/2}$ vers $^2D_{3/2} / ^2S_{1/2}$
 - ↳ Si l'on excite à 493,4 nm, il est nécessaire de recycler les atomes "pompe" dans $^2D_{3/2}$ avec une irradiation à 649,9 nm

Expériences utilisant 2 lasers (16)

(pour recycler les ions pompés dans $^2D_{3/2}$). Références (4) à (6)



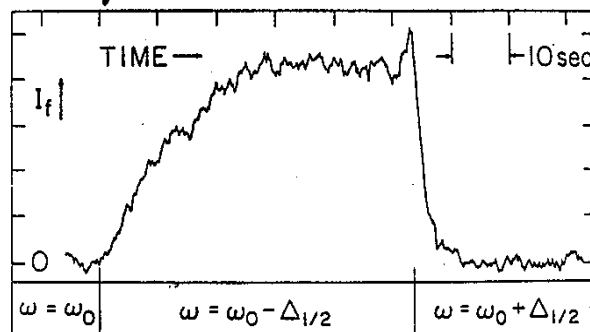
Figures extraites de (5)



Observation photographique ou visuelle
Le point brillant central ($\phi \approx 50\mu m$)
est la fluorescence du nuage d'ions

Démonstration du refroidissement et de l'échauffement radiatif (17)

Figure extraite de (4)

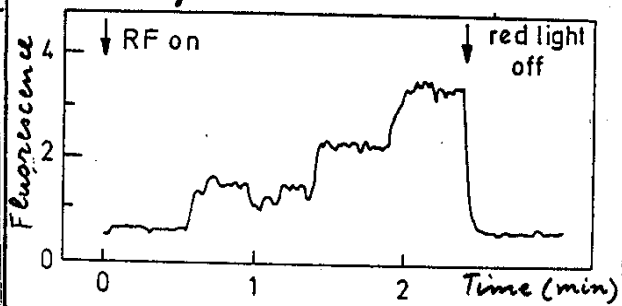


- Si $\omega = \omega_0 - \Delta_{1/2}$, les ions sont refroidis et restent dans le piège
Leur fluorescence est visible
- Si $\omega = \omega_0 + \Delta_{1/2}$, les ions sont chauffés et sortent du piège
Leur fluorescence disparaît

$\Delta_{1/2}$ Demi Largeur Doppler

Observation d'un ion Ba⁺ unique (18)

Figure extraite de (6)



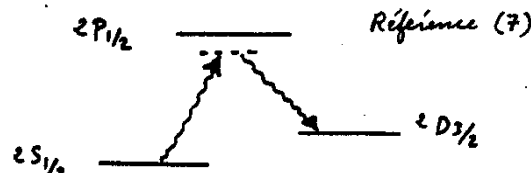
Augmentation par paliers de la fluorescence quand on branche, à $t=0$, le champ RF piégeant

Disparition de toute fluorescence quand on arrête le laser à 650 nm

Estimation de la température à partir de la dimension des nuages de 1, 2, 3 ions (contributions de la diffraction et du mouvement d'agitation des ions)

$$10 \text{ mK} \leq T \leq 36 \text{ mK}$$

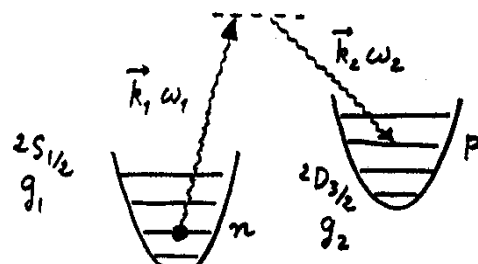
Spectroscopie à 2 photons sur Ba⁺ Transition Raman $^2S_{1/2} \leftrightarrow ^2D_{3/2}$ (19)



Motivations

- Cette raie Raman est potentiellement beaucoup plus fine que les raies à 1 photon $^2S_{1/2} \leftrightarrow ^2P_{1/2}$ et $^2P_{1/2} \leftrightarrow ^2D_{3/2}$
- Essai d'observer sur cette raie des bandes latérales à $\pm \omega_v$, liées à la vibration de l'ion dans le puits. Impossible de voir sur les raies à 1 photon car $\Gamma(2P_{1/2}) \gg \omega_v$
Par contre, $\Delta\gamma(\text{Raman}) < \omega_v$
- S'il n'y a pas de bande latérale, c'est qu'on est dans le régime de Lamb-Dicke, régime non encore observé dans le domaine optique

Structure vibrationnelle de la raie Raman (20)



$$\hbar\omega_1 + Eg_1 + n\hbar\omega_v = \hbar\omega_2 + Eg_2 + p\hbar\omega_v.$$

Amplitude de transition

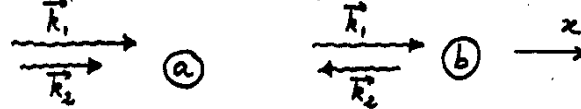
Le même calcul que plus haut (pour l'absorption à 2 photons) donne pour la partie externe de cette amplitude

$$A_{pn} = \sum_q \langle p | e^{-i(\vec{k}_2 \cdot \vec{r})} | q \rangle \langle q | e^{+i(\vec{k}_1 \cdot \vec{r})} | n \rangle$$

Signe - Emission de \vec{k}_2 Nombre quantique de vibration dans l'état relais Signe + Absorption de \vec{k}_1

$$\hookrightarrow A_{pn} = \langle p | e^{i(\vec{k}_1 - \vec{k}_2) \cdot \vec{r}} | n \rangle$$

Influence des directions de propagation des 2 faisceaux (2)



Cas a Propagation dans le même sens

$$A_{pn} = \langle p | e^{i(k_1 - k_2)x} | n \rangle$$

Longueur d'onde effective λ correspondant à celle de la transition

$$^2S_{1/2} \leftrightarrow ^2D_{3/2}, \quad \frac{1}{\lambda} = \frac{1}{\lambda_1} - \frac{1}{\lambda_2}$$

Cas b Propagation dans des sens opposés

$$A_{pn} = \langle p | e^{i(k_1 + k_2)x} | n \rangle$$

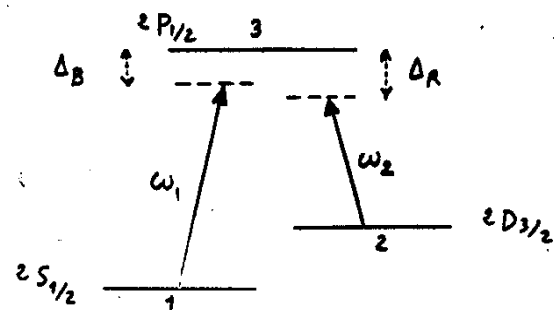
Longueur d'onde effective $\frac{1}{\lambda} = \frac{1}{\lambda_1} + \frac{1}{\lambda_2}$

La condition Lamb-Dicke est plus facile à réaliser dans le cas (a) :

$a_0 \ll \lambda$ plus facile que $a_0 \ll \lambda'$

Le cas (b) est beaucoup plus sensible à l'effet Doppler

Etude de la forme de raie (2)



Δ_B : désaccord entre le laser bleu à ω_1 et la résonance sur $^2S_{1/2} \leftrightarrow ^2P_{1/2}$

Δ_R : désaccord entre le laser rouge à ω_2 et la résonance sur $^2P_{1/2} \leftrightarrow ^2D_{3/2}$

Ion supposé immobile (on suppose la condition de Lamb-Dicke réalisée)

ω_1 (et donc Δ_B) étant fixé, on balise ω_2 (et donc Δ_R). Comment varie la fluorescence, c-a-d la population σ_{33} du niveau 3 ?

Etude par les équations de Bloch optiques

Résolution des équations d'évolution (23) des σ_{ij} ($i, j = 1, 2, 3$), tenant compte compte de l'interaction avec les 2 lasers (fréquences de Rabi Ω_B et Ω_R) et de l'émission spontanée ($\Gamma_B = \Gamma_{3 \rightarrow 1}$ et $\Gamma_R = \Gamma_{3 \rightarrow 2}$)

Résultats essentiels

①- Superposition d'une résonance très large (pour $\Delta_R = 0$), correspondant à la résonance sur la raie rouge, et d'une résonance très fine, pour $\Delta_R = \Delta_B$, correspondant à la résonance Raman entre 2 et 1

②- Pour $\Delta_R = \Delta_B$ on a $\sigma_{33} = 0$.

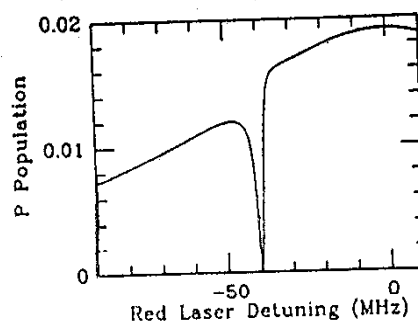
Disparition de toute fluorescence

③- Forme exacte du creux étroit en $\Delta_R = \Delta_B$ (absorption, dispersion, mélange des 2), dépendant de Ω_B ou Ω_R

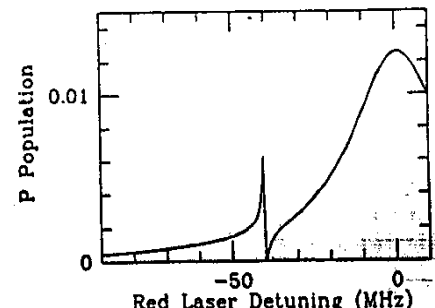
Références (7) à (11)

Exemples de résultats théoriques (24)

Figures extraites de (7)



$$\frac{\Delta_B}{2\pi} = -40 \text{ MHz} \quad \frac{\Omega_B}{2\pi} = \frac{\Omega_R}{2\pi} = 10 \text{ MHz}$$



$$\frac{\Delta_B}{2\pi} = -40 \text{ MHz} \quad \frac{\Omega_B}{2\pi} = 10 \text{ MHz} \quad \frac{\Omega_R}{2\pi} = 2 \text{ MHz}$$

Interprétation perturbative (25)

Dans la résolution par itération des équations d'évolution de σ , 2 "chemins" pour aller de σ_{22} à σ_{11} .

Chemin a

$$\sigma_{22} \xrightarrow{\Omega_R} \sigma_{23} \xrightarrow{\Omega_R} \sigma_{33} \xrightarrow{\Omega_B} \sigma_{31} \xrightarrow{\Omega_B} \sigma_{11}$$

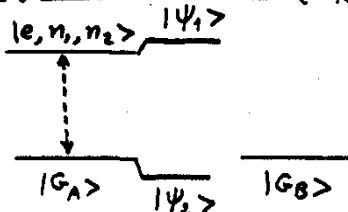
Chemin b

$$\sigma_{22} \xrightarrow{\Omega_R} \sigma_{23} \xrightarrow{\Omega_B} \sigma_{21} \xrightarrow{\Omega_R} \sigma_{31} \xrightarrow{\Omega_B} \sigma_{11}$$

Résonance pour $\Delta_R = \Delta_B$

Le chemin a, où apparaît intermédiairement la population de l'état 3, est un passage de 2 à 1 par une suite de 2 processus à 1 photon.

Le chemin b, où apparaît intermédiairement σ_{21} , est le processus Raman direct. La résonance sur σ_{21} est très étroite car le temps de relaxation de σ_{21} est très long (2 : état métastable, 1 : état fondamental).

Changement de base ($\Delta_R = \Delta_B$) (27)

$|G_B\rangle$ n'étant pas couplé à $|e, n_1, n_2\rangle$, on est ramené à 1 pb à 2 niveaux \hookrightarrow 2 niveaux perturbés $|1\Psi_1\rangle$ et $|1\Psi_2\rangle$ + le niveau $|G_B\rangle$ inchangé.

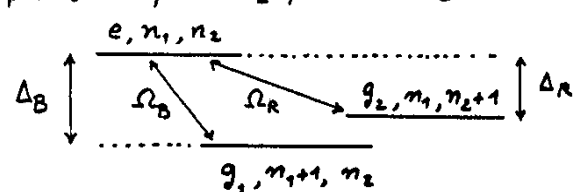
Effet de l'émission spontanée

Le point important est que, $|G_B\rangle$ ne contient pas du tout e (superposition linéaire de g_1 et g_2). L'état $|G_B\rangle$ est donc stable vis à vis de l'émission spontanée. Aucune transition radiative ne part de G_B vers les niveaux habillés inférieurs.

Par contre, $|G_B\rangle$ est alimenté par émission spontanée à partir des niveaux habillés supérieurs. Niveau non radiatif où toute la population va se trouver piégée.

Interprétation de la disparition de la fluorescence pour $\Delta_R = \Delta_B$ (en termes d'atome "habillé").

Etats non perturbés du système global atome (états $3=e$, $2=g_2$, $1=g_1$) + n_1 photons w_1 + n_2 photons w_2



Couplages Ω_B et Ω_R entre états différent d'un photon w_1 ou w_2

Si $\Delta_B = \Delta_R$, les 2 états $|g_1, n_1+1, n_2\rangle$ et $|g_2, m_1, m_2+1\rangle$ sont exactement dégénérés.

Possibilité d'introduire 2 combinaisons linéaires orthogonales de ces 2 états, $|G_A\rangle$ et $|G_B\rangle$, dont l'une est couplée à $|e, n_1, n_2\rangle$ et l'autre non.

Observations antérieures (28)

Ce phénomène de piégeage de population ("population trapping"), ou encore de superposition linéaire de g_1 et g_2 n'absorbant plus de lumière, a déjà été observé

- Résonances "noires" de Alzetta, Gorzini, Moi, Oriols (référence 12)

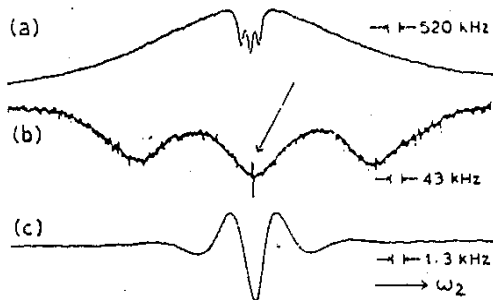
Faisceau laser multimode traversant une cellule de Na placée dans un gradient de champ B_0 parallèle au laser

Disparition de la fluorescence aux endroits où l'écart entre 2 sous niveaux Zeeman appartenant aux 2 niveaux hyperfins $F=1$ et $F=2$ de l'état fondamental est égal à l'écart entre 2 modes du laser

- Expérience analogue sur un jet atomique éclairé par 2 faisceaux laser [voir référence 13]

Reprise de cette expérience [ref 14]

Sur un jet atomique avec 2 faisceaux laser (dérivés du même faisceau pour éliminer les fluctuations de fréquence sur $\omega_1 - \omega_2$) et en utilisant des franges de Ramsey pour avoir des résonances très fines



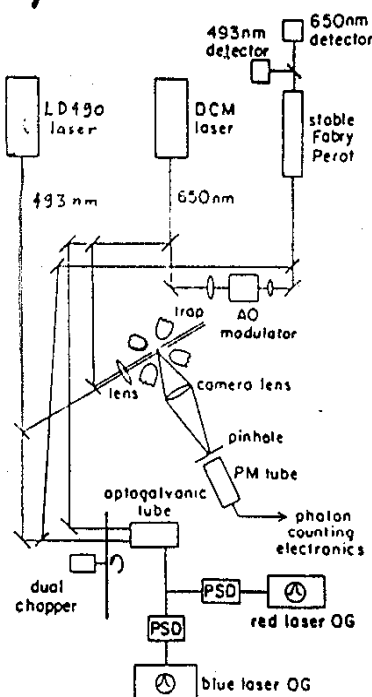
(b) Résonance large ($\Delta\nu = 10 \text{ MHz}$), avec 3 structures Raman correspondant à des sous niveaux Zeeman différents de $F=1$ et $F=2$

(b)(c) Agrandissements montrant les franges de Ramsey sur la résonance centrale (distance de 15 cm entre les 2 zones de Ramsey)

Observation de la résonance Raman

$2S_{1/2} \leftrightarrow ^2D_{3/2}$ sur Ba^+

Figure extraite de (7)

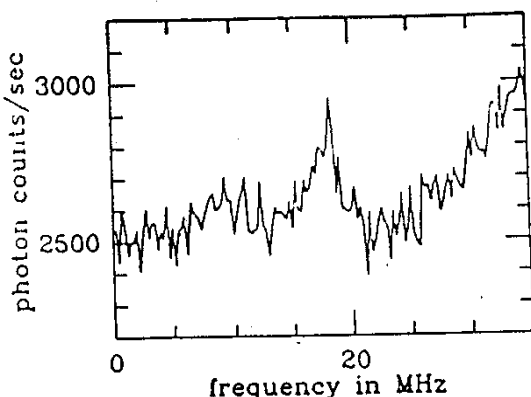


$$\begin{aligned} & \text{Piège RF} \\ & \text{miniature} \\ & 2r_0 = 0,7 \text{ mm} \\ & 2z_0 = 0,5 \text{ mm} \\ & \Omega = 25,7 \text{ MHz} \\ & V_0 = 1200 \text{ V} \\ & \hookrightarrow \bar{\omega}_3 = 5,5 \text{ MHz} \end{aligned}$$

Largur
spectrale des
2 lasers
 $\Delta\nu \approx 1 \text{ MHz}$

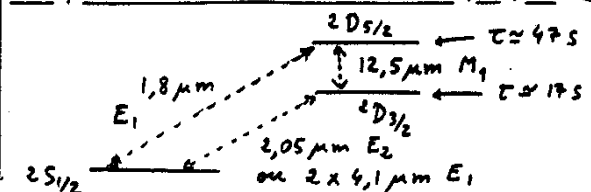
Observation d'un ion uniqueExemple de résultats [ref(7)]

Observation sur un ion unique d'une raie Raman étroite ($\Delta\nu \approx 3 \text{ MHz}$) sur le flanc d'une raie large



Possibilité d'affiner cette raie en diminuant la largeur spectrale des lasers

Pas de bandes latérales visibles à $\pm 5,5 \text{ MHz}$. Ceci semble indiquer qu'on est dans le régime de Lands-Dicke ($a_0 \ll \lambda_{eff} = 2,06 \mu\text{m}$)

Perspectives de standards optiques

Transition $2S_{1/2} \leftrightarrow 2D_{3/2}$ à 2 photons $4,1 \mu\text{m}$

Refroidissement à 494 nm

Recyclage à 650 nm [Référence 15]

Transition $2D_{3/2} \leftrightarrow 2D_{5/2}$ à $12,5 \mu\text{m}$

- Transport d'un ion unique dans $2D_{3/2}$ (laser rouge arrête un peu avant le bleu)
- Excitation pendant 1 sec à $12,5 \mu\text{m}$
Si la transition se produit, l'ion reste dans $2D_{5/2}$ pendant plusieurs secondes
- Réintroduction du laser bleu pendant 1 sec
Si l'ion est passé sur "l'étagère" $2D_{5/2}$, 10^7 photons de fluorescence manquent

[Référence 16]

Transition $2S_{1/2} - 2D_{5/2}$ à $1,8 \mu\text{m}$ [réf 17]

- Refroidissement à 494 nm
- Excitation à $1,8 \mu\text{m}$ pour monter l'ion unique sur "l'étagère" $2D_{5/2}$
- Laser à 650 nm pour vider $2D_{5/2}$